

高等学校教学用書

焊接热过程計算

雷卡林著



机械工业出版社



7.7
9

7.7
7/10
2

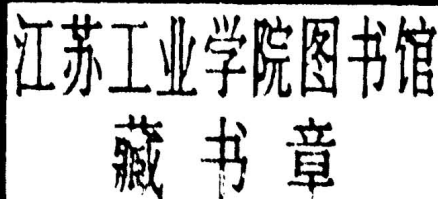
高等学校教学用書



焊接热过程计算

徐碧宇、庄鴻寿譯

苏联高等教育部批准为高等
机器制造工业学校教学参考書



机械工业出版社

1958

0507

396

出版者的話

本書系統地闡述了焊接過程中熱計算的方法。書中研討了電弧和氣體火焰加熱金屬時的熱傳播過程、熱傳播的特性對於電焊條和基本金屬熔化過程的影響，以及對於熱循環和基本金屬發生組織變化的影响。

本書供高等機器製造工業學校焊接專業的學生和研究生使用，並可作為科學研究所和工廠實驗室的工作人員的參考書。

苏联 Н. Н. Рыжгин 著 ‘Расчеты тепловых процессов при сварке’ МАШГИЗ 1951 年第一版

* * *

NO. 1915

1958年11月第一版 1958年11月第一版第一次印刷

850×1168 1/32 字數 235 千字 印張 9 11/16 0,001—3,100 冊

机械工业出版社(北京阜成門外百万庄)出版

机械工业出版社印刷厂印刷 新华书店發行

北京市書刊出版業營業許可証出字第 008 号 定價(10) 1.50 元

目 次

本書采用的符号	8
1 热物理性能和电物理性能系数	8
2 温度场	8
3 焊接电弧	9
4 气体火焰	10
5 电焊条的加热和熔化	10
6 基本金属的熔化	12
7 近缝区的热循环和金属的机械特性	12
緒論	15
第一章 导热的計算基础	21
1 金属的导热	21
基本定义(21)——傅立叶导热定律(23)	
2 表面放热	26
对流换热(26)——辐射换热(26)——全部放热(28)	
3 导热方程式	29
导热微分方程式的推导(29)——导温系数(32)——个别情况(33)	
4 区域条件和计算方法	34
区域条件(34)——第一种条件(35)——第二种条件(35)——第三种	
条件(36)——计算方法(38)	
5 瞬时集中热源	39
瞬时点热源(39)——瞬时线热源(42)——瞬时平面热源(43)	
6 分布的和連續作用的热源	43
叠加原理(43)——初始温度分布的拉平(44)——例 1(45)——連續	
作用的集中热源(46)——例 2(48)	
7 有限物体内的热傳播	49
等温边界(50)——绝热边界(51)——有换热的边界(53)——在板和	
杆表面的换热(53)——自由冷却(54)——表面放热的计算(55)	
8 计算导热过程的数值法	56
綫性热傳播过程(56)——例 1(59)——平面热傳播过程(61)——	
例 2(62)	
第二章 焊接电弧加热金属的計算	64
9 作为热源的焊接电弧	64
焊接电弧(64)——有效功率(65)——例(67)——电弧的比热流量	
分布(67)	
10 电弧加热金属的計算方式	71
加热物体的方式(71)——热源的方式(73)——热源作用的延续时	

間(73)——热源的移动(74)

11 瞬时集中热源的热傳播過程	75
瞬时点热源的热傳播(76)——瞬时綫热源的热傳播(78)——瞬时 平面热源的热傳播(80)——空間的，平面的和綫性的過程比較(81)	
12 运动的不变功率的集中热源	81
方程式推导的方式(81)——半无限体表面上的运动点热源(82)——板 上的运动綫热源(85)——杆上的运动平面热源(86)	
13 点热源加热半无限体表面	86
極限状态(86)——固定热源(87)——热源移动速度的影响(88) ——运动热源的温度場(91)	
14 綫热源加热板	92
極限状态(92)——溫度場(93)——焊接規範条件的影响(94)——金 屬热物理性能的影响(97)	
15 用强烈的快速运动热源加热	97
点热源(98)——近似表达式的評价(100)——綫热源(101)	
16 热循环和最高温度	102
热循环(102)——快速运动点热源的热傳播過程中的最高温度(104) ——快速运动綫热源的热傳播過程中的最高温度(106)——例(107)	
17 热飽和时期和溫度拉平时期	108
热飽和时期(108)——过程参数对于热飽和时期的影响(111)——溫 度拉平时期(112)——例(114)	
18 物体尺寸的局限性对于热傳播過程的影响	115
板表面上的焊道堆焊(116)——例(120)	
19 电弧焊时金属溫度計算的例題	121
焊接規範(121)——極限状态的溫度場(122)——最高溫度分布(124) ——A点的热循环(125)	
第三章 气体火焰加热金属的計算	126
20 作为热源的簡單焊炬火焰	126
氧炔焰(126)——火焰和加热表面之間的換熱(127)——火焰加热時 物体热含量的变化(128)——氧炔焰的有效功率(130)——各種參數 对于火焰有效功率的影响(131)	
21 簡單焊炬火焰比热流量的分布	134
火焰的比热流量(134)——作为正常—圓型热源的火焰(136)——电弧 和气体火焰的热特性比較(139)	
22 复杂焊炬的火焰	140
直綫式多焰焊炬(142)——直綫式焊炬火焰的有效功率(142)——直 綫式焊炬火焰的比热流量分布(144)——多列式焊炬(148)	
23 气体火焰加热金属過程的計算方式	150
加热的專門用途(150)——加热物体的方式(150)——热源的方式	

(150) —— 热源作用的延续时间(151) —— 热源的移动(152) —— 换热热源的计算方式(153) —— 火焰的换热系数(154) —— 计算方式(154)	
24 瞬时正常-分布热源	156
A. 在板上的瞬时正常-圆型热源(156) —— B. 在板上的瞬时正常-条状热源(159)	
25 正常-分布热源加热板	160
26 运动正常-圆型热源加热板	163
A. 以任意速度运动的热源(163) —— B. 快速运动的强烈正常-条状热源(166)	
27 简单焊炬火焰加热薄板的计算	169
例 1 (169) —— 例 2 (171)	
28 固定正常-条状热源加热板	172
29 直线式焊炬火焰加热薄板的计算	174
例(176)	
30 在半无限体表面上的瞬时正常-圆型热源	178
31 运动正常-圆型热源加热半无限体	181
A. 连续作用的正常-圆型热源(181) —— 固定热源中心的温度(183) —— 极限状态温度场(185) —— B. 快速运动的强烈正常-线热源(189)	
32 简单焊炬火焰加热巨型物体的计算	191
例1 长时加热的计算(191) —— 例2 短时加热的计算(193)	
第四章 电弧焊时基本金属和填充金属熔化的计算	196
33 电流加热电焊条	196
过程的热平衡(197) —— 电焊丝的比电阻(199) —— 用数值法计算电焊条的加热(199)	
34 电流加热电焊条过程的近似计算	203
例(205)	
35 电焊条的熔化	206
过程的热平衡(206) —— 熔化率(207) —— 熔化系数(207) —— 熔化的不均匀性(209) —— 焊着过程生产率(210)	
36 焊接电弧加热电焊条	211
例(212)	
37 电流和电弧加热电焊丝	213
电流加热的温度(214) —— 例(214) —— 电弧加热的温度(216) —— 例(217)	

— 原文误为「一定」，已予更正。——译者

● 原文漏排。——译者

38 电焊絲的熔化	217
熔化速度(218)——根据实验数据确定熔化率(219)——例(220)	
39 焊接电弧熔化基本金属	223
焊接熔池(223)——熔透区(225)	
40 熔池和熔透区的尺寸	226
计算方式(226)——金属熔池的长度(227)	
41 熔透过程的热效率	229
42 熔透过程的热有效系数	232
用强烈的快速运动电弧在巨型工件上堆焊焊道(232)——用强烈的 快速运动电弧对接焊接板(234)——用任意速度运动的电弧焊接和 堆焊(235)——加宽焊道和深入电弧(236)——例(239)	
43 焊着过程和熔透过程的生产率	240
主要的计量指标(240)——焊着区和熔透区面积(241)——提高电弧 焊生产率的途径(243)——主要由焊着金属形成的焊缝(245)——主 要由基本金属形成的焊缝(245)	
第五章 基本金属热循环的计算.....	247
44 热影响区的组织变化及其控制	247
组织变化的控制问题(247)——碳钢和低合金钢热影响区的组织变 化(249)——热循环的调节(251)	
45 在给定温度时的瞬时冷却速度的计算	252
在巨型物体上堆焊焊道和板的对接焊接(253)——例1(255)——在 板上堆焊焊道(256)——例2(258)	
46 在简单热循环情况高于给定温度的加热延续时间的计算	258
例(262)	
47 在堆焊和单程对接焊时简单热循环的调节	263
堆焊焊道(264)——板的对接焊接(266)——焊剂对于冷却规范的影 响(267)——莫斯科巴乌曼高等工业学校方法(焊道试验)(268)—— 自动单层焊接规范的计算例题(272)——手工对接焊接规范检查性 计算例题(273)	
48 长段多层焊时的热循环	274
长段焊时的组织变化(275)——第一层冷却速度的计算(276)——规 范参数的影响(279)——例1 20公厘厚的50号钢板的手工对接焊 (280)——例2 30公厘厚的HJ-2号钢板的自动对接焊(281)	
49 短段多层焊时的热循环	282
50 第一层的冷却温度	285
计算方式(285)——焊接段长度的计算(286)——焊接条件的影响 (287)——例(287)	
51 在短段多层焊时高于给定温度的加热延续时间	289

例(293)

附录.....	296
表I 指数函数	296
表II 或然率积分函数	298
表III 积分指数函数	304
表IV 第二类虚自变数零次贝塞耳函数	306

7.7*
9

高等学校教学用書



焊接热过程计算

徐碧宇、庄鴻寿譯

苏联高等教育部批准为高等
机器制造工业学校教学参考書



机械工业出版社

1958

出版者的話

本書系統地闡述了焊接過程中熱計算的方法。書中研討了電弧和氣體火焰加熱金屬時的熱傳播過程、熱傳播的特性對於電焊條和基本金屬熔化過程的影響，以及對於熱循環和基本金屬發生組織變化的影响。

本書供高等機器製造工業學校焊接專業的學生和研究生使用，並可作為科學研究所和工廠實驗室的工作人員的參考書。

苏联 Н. Н. Рыклин 著 ‘Расчеты тепловых процессов при сварке’ МАШГИЗ 1951 年第一版

* * *

NO. 1915

1958年11月第一版 1958年11月第一版第一次印刷

850×1168 1/32 字數 235 千字 印張 9 11/16 0,001—3,100 冊

機械工業出版社(北京阜成門外百萬莊)出版

機械工業出版社印刷廠印刷 新華書店發行

北京市書刊出版業營業許可證出字第 008 号 定價(10) 1.50 元

目 次

本書采用的符号	8
1 热物理性能和电物理性能系数	8
2 温度场	8
3 焊接电弧	9
4 气体火焰	10
5 电焊条的加热和熔化	10
6 基本金属的熔化	12
7 近缝区的热循环和金属的机械特性	12
緒論	15
第一章 导热的計算基础	21
1 金属的导热	21
基本定义(21)——傅立叶导热定律(23)	
2 表面放热	26
对流换热(26)——辐射换热(26)——全部放热(28)	
3 导热方程式	29
导热微分方程式的推导(29)——导温系数(32)——个别情况(33)	
4 区域条件和计算方法	34
区域条件(34)——第一种条件(35)——第二种条件(35)——第三种	
条件(36)——计算方法(38)	
5 瞬时集中热源	39
瞬时点热源(39)——瞬时线热源(42)——瞬时平面热源(43)	
6 分布的和連續作用的热源	43
叠加原理(43)——初始温度分布的拉平(44)——例 1(45)——連續	
作用的集中热源(46)——例 2(48)	
7 有限物体内的热傳播	49
等温边界(50)——绝热边界(51)——有换热的边界(53)——在板和	
杆表面的换热(53)——自由冷却(54)——表面放热的计算(55)	
8 计算导热过程的数值法	56
綫性热傳播过程(56)——例 1(59)——平面热傳播过程(61)——	
例 2(62)	
第二章 焊接电弧加热金属的計算	64
9 作为热源的焊接电弧	64
焊接电弧(64)——有效功率(65)——例(67)——电弧的比热流量	
分布(67)	
10 电弧加热金属的計算方式	71
加热物体的方式(71)——热源的方式(73)——热源作用的延续时	

問(73)——熱源的移動(74)

11 瞬時集中熱源的熱傳播過程	75
瞬時點熱源的熱傳播(76)——瞬時綫熱源的熱傳播(78)——瞬時平面熱源的熱傳播(80)——空間的，平面的和線性的過程比較(81)	
12 運動的不變功率的集中熱源	81
方程式推導的方式(81)——半無限體表面上的運動點熱源(82)——板上的運動綫熱源(85)——杆上的運動平面熱源(86)	
13 點熱源加熱半無限體表面	86
極限狀態(86)——固定熱源(87)——熱源移動速度的影響(88) ——運動熱源的溫度場(91)	
14 縫熱源加熱板	92
極限狀態(92)——溫度場(93)——焊接規範條件的影響(94)——金屬熱物理性能的影響(97)	
15 用強烈的快速運動熱源加熱	97
點熱源(98)——近似表达式的評價(100)——綫熱源(101)	
16 热循環和最高溫度	102
热循環(102)——快速運動點熱源的熱傳播過程中的最高溫度(104) ——快速運動綫熱源的熱傳播過程中的最高溫度(106)——例(107)	
17 热飽和時期和溫度拉平時期	108
熱飽和時期(108)——過程參數對於熱飽和時期的影響(111)——溫度拉平時期(112)——例(114)	
18 物體尺寸的局限性對於熱傳播過程的影響	115
板表面上的焊道堆焊(116)——例(120)	
19 電弧焊時金屬溫度計算的例題	121
焊接規範(121)——極限狀態的溫度場(122)——最高溫度分布(124) ——A點的熱循環(125)	
第三章 氣體火焰加熱金屬的計算	126
20 作為熱源的簡單焊炬火焰	126
氣焰焰(126)——火焰和加熱表面之間的換熱(127)——火焰加熱時物體熱含量的變化(128)——氧炔焰的有效功率(130)——各種參數對於火焰有效功率的影響(131)	
21 簡單焊炬火焰比熱流量的分布	134
火焰的比熱流量(134)——作為正常圓型熱源的火焰(136)——電弧和氣體火焰的熱特性比較(139)	
22 复雜焊炬的火焰	140
直線式多焰焊炬(142)——直線式焊炬火焰的有效功率(142)——直線式焊炬火焰的比熱流量分布(144)——多列式焊炬(148)	
23 氣體火焰加熱金屬過程的計算方式	150
加熱的專門用途(150)——加熱物體的方式(150)——熱源的方式	

(150) —— 热源作用的延续时间(151) —— 热源的移动(152) —— 换热热源的计算方式(153) —— 火焰的换热系数(154) —— 计算方式(154)	
24 瞬时正常-分布热源	156
A. 在板上的瞬时正常-圆型热源(156) —— B. 在板上的瞬时正常-条状热源(159)	
25 正常-分布热源加热板	160
26 运动正常-圆型热源加热板	163
A. 以任意速度运动的热源(163) —— B. 快速运动的强烈正常-条状热源(166)	
27 简单焊炬火焰加热薄板的计算	169
例 1 (169) —— 例 2 (171)	
28 固定正常-条状热源加热板	172
29 直线式焊炬火焰加热薄板的计算	174
例(176)	
30 在半无限体表面上的瞬时正常-圆型热源	178
31 运动正常-圆型热源加热半无限体	181
A. 連續作用的正常-圆型热源(181) —— 固定热源中心的温度(183) —— 极限状态温度场(185) —— B. 快速运动的强烈正常-线热源(189)	
32 简单焊炬火焰加热巨型物体的计算	191
例1 长时加热的计算(191) —— 例2 短时加热的计算(193)	
第四章 电弧焊时基本金属和填充金属熔化的计算	196
33 电流加热电焊条	196
过程的热平衡(197) —— 电焊丝的比电阻(199) —— 用数值法计算电焊条的加热(199)	
34 电流加热电焊条过程的近似计算	203
例(205)	
35 电焊条的熔化	206
过程的热平衡(206) —— 熔化率(207) —— 熔化系数(207) —— 熔化的不均匀性(209) —— 焊着过程生产率(210)	
36 焊接电弧加热电焊条	211
例(212)	
37 电流和电弧加热电焊丝	213
电流加热的温度(214) —— 例(214) —— 电弧加热的温度(216) —— 例(217)	

— 原文误为「一定」，已予更正。——译者

● 原文漏排。——译者

38 电焊絲的熔化	217
熔化速度(218)——根据實驗数据确定熔化率(219)——例(220)	
39 焊接电弧熔化基本金屬	223
焊接熔池(223)——熔透区(225)	
40 熔池和熔透区的尺寸	226
計算方式(226)——金屬熔池的長度(227)	
41 熔透过程的热效率	229
42 熔透过程的热有效系数	232
用强烈的快速运动电弧在巨型工件上堆焊焊道(232)——用强烈的 快速运动电弧对接焊接板(234)——用任意速度运动的电弧焊接和 堆焊(235)——加寬焊道和深入电弧(236)——例(239)	
43 焊着过程和熔透过程的生产率	240
主要的計量指标(240)——焊着区和熔透区面积(241)——提高电弧 焊生产率的途径(243)——主要由焊着金屬形成的焊縫(245)——主 要由基本金屬形成的焊縫(245)	
第五章 基本金属热循环的计算.....	247
44 热影响区的組織变化及其控制	247
組織变化的控制問題(247)——碳鋼和低合金鋼热影响区的組織变 化(249)——热循环的調節(251)	
45 在給定温度时的瞬时冷却速度的計算	252
在巨型物体上堆焊焊道和板的对接焊接(253)——例 1 (255)——在 板上堆焊焊道(256)——例 2 (258)	
46 在简单热循环情况高于給定温度的加热延續时间的計算	258
例(262)	
47 在堆焊和單程对接焊时简单热循环的調節	263
堆焊焊道(264)——板的对接焊接(266)——焊剂对于冷却規范的影 响(267)——莫斯科巴烏曼高等工业学校方法(焊道試驗)(268)—— 自動單層焊接規范的計算例題(272)——手工对接焊接規范檢查性 計算例題(273)	
48 長段多層焊时的热循环	274
長段焊时的組織变化(275)——第一層冷却速度的計算(276)——規 范参数的影响(279)——例1 20 公厘厚的 50 号鋼板的 手工对接焊 (280)——例2 30公厘厚的HII-2号鋼板的自动对接焊(281)	
49 短段多層焊时的热循环	282
50 第一層的冷却温度	285
計算方式(285)——焊接段長度的計算(286)——焊接条件 的影响 (287)——例(287)	
51 在短段多層焊时高于給定温度的加热延續时间	289

例(293)

附录.....	296
表I 指数函数	296
表II 或然率积分函数	298
表III 积分指数函数	304
表IV 第二类虚自变数零次贝塞耳函数	306

本書采用的符号

1 热物理性能和电物理性能系数

λ — 导热系数卡/公分·秒·°C

S — 热含量卡/克

c — 比热容量卡/克·°C

γ — 比重克/公分³

$c\gamma$ — 容积热容量卡/公分³·°C

$\alpha = \frac{\lambda}{c\gamma}$ — 导温系数公分²/秒

a — 放热系数卡/公分²·秒·°C

a_r 和 a_k — 辐射换热和对流换热系数卡/公分²·秒·°C

a_1 和 a_2 — 板的上表面和下表面的换热系数卡/公分²·秒·°C

b — 板或杆的散温系数 1/秒

ϵ — 黑度系数

ρ — 比电阻欧姆·公分

σ — 导电系数欧姆⁻¹·公分⁻¹

2 温度场

T — 固体的温度°C

T_0 — 周围介质的温度；物体的初始温度°C

t — 时间秒

T_m — 最高温度°C

t_m — 到达最高温度时间秒

Q — 热量卡

q — 比热流量卡/公分²·秒

q_s — 沿给定方向 ss 的比热流量卡/公分²·秒

q_r 和 q_k — 辐射换热和对流换热的热流量卡/公分²·秒

● 就厚度为 δ 的板而言： $b = \frac{2a}{c\gamma F}$ 。就横截面周长为 P 和横截面积为 F 的

杆而言： $b = \frac{aP}{c\gamma F}$ 。

- v — 热源移动速度公分/秒
 x, y, z — 动坐标制的直角坐标
 x_0, y_0, z_0 — 固定坐标制的直角坐标
 R, φ, ψ — 动坐标制的球面坐标
 r_x, r_y, r_z — 对于 OX, OY, OZ 軸的动径
 r_z, φ, z — 动坐标制的圆柱坐标
 $\psi_1(\rho_1, \tau), \psi_2(\rho_2, \tau)$, — 杆, 板和半无限体的热饱和系数
 $\psi_3(\rho_3, \tau)$
 δ — 板的厚度公分
 p — 杆的横截面周长公分
 F — 杆的横截面积公分²
- $\rho_1 = |X| \sqrt{\frac{v^2}{4\alpha^2} + \frac{b}{\alpha}}$ — 沿杆移动的平面热源在綫性热傳播过程中的距离和时间的无因次准则
 $\tau = t \left(\frac{v^2}{4\alpha} + b \right)$
- $\rho_2 = r \sqrt{\frac{v^2}{4\alpha^2} + \frac{b}{\alpha}}$ — 沿板移动的线热源在平面热傳播过程中的距离和时间的无因次准则
 $\tau = t \left(\frac{v^2}{4\alpha} + b \right)$
- $\rho_3 = \frac{vR}{2\alpha}$ — 沿半无限体表面移动的点热源在空间热傳播过程中的距离和时间的无因次准则
 $\tau = \frac{v^2 t}{4\alpha}$
- T_{np} — 极限状态温度 °C
 t_k — 热源作用的延续时间秒

3 焊接电弧

- U — 电弧电压伏特
 I — 焊接电流安培
 UI — 电弧的电功率瓦特
 U_a — 阳极斑点的电压降伏特
 U_k — 阴极斑点的电压降伏特
 U_c — 弧柱中的电压降伏特
 $q_u = \eta_u 0.24 UI$ — 电弧的有效热功率卡/秒
 $\eta_u = \frac{q_u}{0.24 UI}$ — 电弧加热工件过程的实际有效系数